БИОФИЗИКА СЛОЖНЫХ СИСТЕМ =

УДК 577.3

КАТИОН НИТРОЗОНИЯ КАК КОМПОНЕНТ ДИНИТРОЗИЛЬНЫХ КОМПЛЕКСОВ ЖЕЛЕЗА, ОПРЕДЕЛЯЮЩИЙ ИХ ПРОТИВООПУХОЛЕВЫЙ ЭФФЕКТ

© 2021 г. А.Ф. Ванин*, **, Л.А. Островская***, Д.Б. Корман***, Н.В. Блюхтерова***, В.А. Рыкова***, М.М. Фомина***

*Федеральный исследовательский центр химической физики им. Н.Н. Семёнова РАН, 119991, Москва, ул. Косыгина, 4 **Институт регенеративной медицины Первого Московского государственного медицинского университета имени И.М. Сеченова Минздрава России, 119991, Москва, ул. Трубецкая, 8/2

***Институт биохимической физики им. Н.М. Эмануэля РАН, 119334, Москва, ул. Косыгина, 4

E mail: larros@list.ru

Поступила в редакцию 05.08.2021 г. После доработки 16.09.2021 г. Принята к публикации 17.09.2021 г.

Исследована противоопухолевая эффективность сочетанного применения экзогенного донора цитотоксических катионов нитрозония, биядерных динитрозильных комплексов железа с глутатионом и диэтилдитиокарбамата натрия на модели карциномы легких Льюис мышей. Установлено, что торможение роста опухоли под влиянием динитрозильных комплексов железа (2 мкМ/кг, внутривенно), диэтилдитиокарбамата натрия (250 мкМ/кг, внутрибрюшинно) и при их совместном применении составило 48, 76 и 57% соответственно. Предполагается, что этот эффект обусловлен способностью диэтилдитиокарбамата натрия разрушать в опухолях эндогенные динитрозильные комплексы железа с высвобождением из них катионов нитрозония, что и приводило к некоторому усилению противоопухолевого действия препаратов при их совместном применении.

Ключевые слова: биядерный динитрозильный комплекс железа с глутатионом, диэтилдитиокарбамат натрия, противоопухолевая активность in vivo, карцинома легких Льюис мышей.

DOI: 10.31857/S0006302921060181

Ранее нами было обнаружено, что генерирующие оксид азота моно- и биядерные формы динитрозильных комплексов железа с различными тиолсодержащими лигандами (М- и Б-ДНКЖ, формулы их основных резонансных структур соответственно ([RS⁻)₂Fe²⁺(NO, NO⁺)] и [(RS⁻)₂Fe²⁺₂- $(NO^{+})_{2}(NO)_{2}])$ обладают способностью задерживать развитие ряда солидных опухолей мышей (карцинома легких Льюис, аденокарциномы Акатол и Са-755). Противоопухолевый эффект изученных препаратов проявлялся при их введении как внутрибрющинно (в/б), так и внутривенно (в/в) и колебался в пределах от 60 до 90% торможения роста опухоли, изменяясь в зависимости от дозового режима, схемы применения, времени оценки эффекта и природы опухолевого штамма

Сокращения: М- и Б-ДНКЖ — моно- и биядерные формы динитрозильных комплексов железа, в/б — внутрибрюшинное введение, в/в — внутривенное введение, ДЭТК — диэтилдитиокарбамат натрия, Б-ДНКЖ-GSH — биядерные динитрозильные комплексы железа с глутатионом, GS-NO — S-нитрозоглутатион.

[1-8]. Показан также определенный цитотоксический эффект некоторых из комплексов Б-ДН-КЖ в отношении клеток опухоли человека (культура MCF7) [8, 9].

В принципе противоопухолевое и цитотоксическое действие ДНКЖ с тиолсодержащими лигандами может определяться их способностью высвобождать при распаде как нейтральные молекулы NO, так и катионы нитрозония (NO^+) [10].

Нейтральные молекулы NO, связываясь с ионами супероксида, продуцируют анионы пероксинитрита, продукты распада протонированной формы которых — гидроксильные радикалы и диоксид азота — оказывают токсическое действие на клетки и ткани.

Катионы нитрозония NO⁺ могут оказывать цитотоксическое действие, благодаря способности инициировать S-нитрозирование тиолсодержащих белков, нарушающее нормальное функционирование этих белков, что и приводит к негативным для клеток и тканей последствиям.

Выяснение вопроса о том, какой из указанных компонентов ДНКЖ — молекулы оксида азота NO или катионы нитрозония NO^+ — может оказывать решающее цитотоксическое действие на опухолевые клетки, требует специальных исследований.

Как было показано в работах [9, 11], ответить на этот вопрос можно, проводя изучение влияния про-изводных дитиокарбамата, в частности диэтилдитиокарбамата (ДЭТК, формула $[C_2H_5)_2=N-CS_2]$), на цитотоксическое действие ДНКЖ.

При контакте с биядерными динитрозильными комплексами железа с глутатионом (Б-ДНКЖ-GSH) ДЭТК перехватывает на себя из железо-динитрозильной группы комплекса железо-мононитрозильный фрагмент с образованием устойчивых ЭПР-регистрируемых мононитрозильных комплексов железа с ДЭТК, практически не высвобождающих нейтральные молекулы NO. Что касается судьбы второго нитрозильного лиганда в железо-динитрозильной группе - он высвобождается в форме катиона нитрозония NO⁺, связывающегося с тиолами различного происхождения с образованием соответствующих S-нитрозотиолов, что и может определять цитотоксическое действие ДНКЖ с тиолсодержащими лигандами в присутствии ДЭТК.

Именно таким путем было показано, что цитотоксическое действие Б-ДНКЖ-GSH или Б-ДНКЖ с меркаптосукцинатом на опухолевые клетки МСF7 [8, 9], а также цитотоксическое действие Б-ДНКЖ-GSH на бактерии *Escherichia coli* [11] определяется способностью этих комплексов выступать в качестве доноров катиона нитрозония NO⁺.

Задача предпринятого нами исследования состояла в исследовании роли катионов нитрозония NO⁺ (с использованием вышеописанного подхода) в реализации противоопухолевого эффекта Б-ДНКЖ-GSH в условиях *in vivo*. С этой целью проведено изучение противоопухолевой эффективности сочетанного применения Б-ДНКЖ-GSH и ДЭТК на модели карциномы легких Льюис.

МАТЕРИАЛЫ И МЕТОДЫ

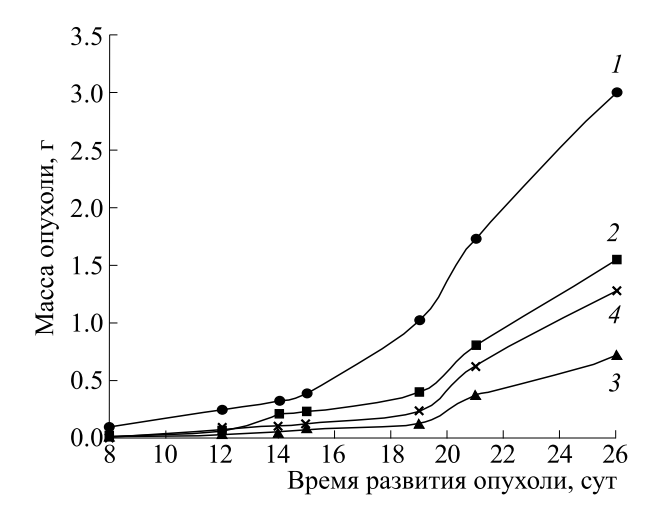
Препараты. В экспериментах использовали конвенциальный препарат диэтилкарбамата натрия (Sigma, США), ферросульфат железа (FeSO₄·7H₂O) (Fluka, Швейцария), восстановленный глутатион и нитрит натрия (Sigma, США). Газообразный NO получали в реакции ферросульфата железа с нитритом натрия в $0.1\,$ М растворе HCl с последующим разделением NO и примесного диоксида азота (NO₂) методом низ-

котемпературной сублимации жидкой смеси этих газов в вакуумированной системе [8, 9].

Синтез Б-ДНКЖ-GSH проводили согласно описанному ранее «простейшему» методу синтеза ДНКЖ с тиолсодержащими лиганадами [8, 9, 12]. В соответствии с этим методом синтез 5 мМ раствора ДНКЖ с глутатионом проходил следующим образом. К 10 мл дистиллированной воды на воздухе добавляли 62 мг глутатиона (20 мМ), вызывавшего подкисление раствора до рН 4.0, с последующим введением в него 28 мг (10 мМ) сернокислого железа, приводившего к дальнейшему снижению рН до 3.8. После этого в раствор добавляли 6.9 мг (10 мМ) нитрита натрия, что приводило к розовому окрашиванию раствора, обусловленного образованием S-нитрозоглутатиона (GS-NO). Судя по интенсивности оптического поглощения на 334 нм, характерного для GS-NO, реакция заканчивалась через 1.5 ч с образованием 10 мМ этого соединения. После этого рН раствора повышали до 7.2, что приводило к оранжевому окрашиванию раствора, обусловленному начавшимся процессом образования Б-ДНКЖ-GSH в растворе при участии GS-NO, Fe²⁺ и глутатиона [12]. Для полного превращения GS-NO в Б-ДНКЖ-GSH требовалось несколько часов. После удаления образовавшегося за это время осадка гидроокиси трехвалентного железа путем фильтрования раствора через фильтровальную бумагу полученный раствор замораживали в жидком азоте и использовали (после размораживания) в экспериментах на животных. Оценку полученного количества Б-ДНКЖ-GSH (мол. масса 846 Да) проводили оптическим методом по интенсивности характерных для этого комплекса полос поглощения на 310 и 360 нм, характеризующихся коэффициентами экстинкции є, равными соответственно 9200 и 7400 M⁻¹cм⁻¹ [9]. Согласно этой оценке концентрация Б-ДНКЖ-GSH в растворе составляла ~2.5 мМ (или 5 мМ в пересчете на один атом железа в комплексе).

Противоопухолевая активность *in vivo*. Эксперименты проведены на 50 инбредных мышах линии BDF_1 — гибридах первого поколения $f_1(C_{57}Bl/_6 \times DBA_2)$, самках с массой тела $18-20~\mathrm{r}$, разведения питомника «Филиал «Столбовая» НЦБМТ ФМБА России». В качестве опухолевой тест-системы служила солидная опухоль мышей — карцинома легких Льюис, перевиваемая подкожно в соответствии со стандартной методикой [13].

Препараты Б-ДНКЖ-GSH вводили животным в виде водных растворов пятикратно в/в (в хвостовую вену мышей) на первые, четвертые, седьмые, десятые и тринадцатые сутки после перевивки опухоли в суточной дозе 2 мкМ/кг. Растворы ДЭТК вводили в суточной дозе 50 мг/кг в/б через один час после введения Б-ДНКЖ-GSH.



Влияние сочетанного применения Б-ДНКЖ и ДЭТК на кинетику развития карциномы легких Льюис: I – контроль; 2 – Б-ДНКЖ, 2 мкМ/ кг, в/в; 3 – ДЭТК, 50 мг/кг (250 мкМ/кг), в/б; 4 – ДНКЖ, 2 мкМ/кг, в/в + ДЭТК, 50 мг/кг, в/б с интервалом в 1 ч. Введение препаратов пятикратно на первые, четвертые, седьмые, десятые и тринадцатые сутки после перевивки опухоли.

Оценка противоопухолевой активности препаратов проведена при сопоставлении кинетики роста опухолей в группах контрольных и леченых животных. Показателем ростингибирующего эффекта препарата служил коэффициент торможения роста опухоли (TPO, %), который определялся из соотношения: $TPO = (P_C - P_T)/P_C$, где P_C и P_T – объем (или масса) опухоли в группах контрольных и леченых животных соответственно. Для изучения кинетики роста опухолей проводили измерение двух взаимно перпендикулярных размеров опухолевого узла на протяжении всего периода развития опухолей. Объем опухоли вы-

числяли в соответствии с формулой для эллипсоида как $V = ab^2/2$, где a — длина, b — ширина и высота опухолевого узла. При оценке массы опухоли использовали величину плотности опухолевой ткани, равную 1 г/см³ [13].

Каждая группа животных, получавших терапевтическое воздействие, состояла из шестивосьми мышей при 8—10 животных в контроле. Наблюдение за животными продолжалось в течение всего периода развития опухоли, вплоть до гибели животных.

Статистическая обработка данных проведена путем оценки размеров опухолей (массы опухолей) у контрольных и леченых животных с использованием пакета компьютерных программ Statistica 6.0.

РЕЗУЛЬТАТЫ

Влияние Б-ДНКЖ-GSH и ДЭТК на развитие карциномы легких Льюис при отдельном и сочетанном введении мышам характеризуют данные, представленные на рисунке и в таблице.

Как видно, Б-ДНКЖ-GSH при пятикратном (на первые, четвертые, седьмые, десятые и тринадцатые сутки после перевивки опухоли) введении, в/в, в суточной дозе 2 мкМ/кг вызывал 50%-е торможение роста по сравнению с контролем. ДТЭК, введенный пятикратно, в/б, в суточной дозе 50 мг/кг, вызывал торможение роста опухоли почти на 80% по сравнению с контролем. Эффект совместного применения Б-ДНКЖ-GSH и ДЭТК (через один час после введения Б-ДНКЖ-GSH) соответствовал 60%-му ингибированию опухолевого роста по сравнению с контролем (рисунок, таблица).

Таким образом, сочетанное применение ДЭТК и Б-ДНКЖ в условиях наших опытов приводило лишь к незначительному повышению противоопухолевого эффекта Б-ДНКЖ (с 50 до 60%). При этом введение одного ДЭТК оказалось

Влияние сочетанного применения ДНКЖ и ДЭТК на развитие карциномы легких Льюис

Препарат	Доза	Время оценки эффекта, сут	Средняя масса опухоли, г	Коэффициент торможения роста опухоли (<i>TPO</i> , %)
ДНКЖ	2 мкМ/ кг в/в	26	1.55 ± 0.1	48
дэтк	50 мг/кг в/б	26	0.72 ± 0.2	76
днкж + дэтк	2 мкМ/ кг в/в + + 50 мг/кг в/б	26	1.28 ± 0.3	57
Контроль	_	26	3.00 ± 0.3	_

наиболее эффективным (80%) по сравнению с влиянием других воздействий. Во всех этих случаях подавление роста опухоли наблюдалось в течение недели после окончания введения животным указанных агентов (тринадцатые сутки после перевивки опухоли), после чего начинался постепенный рост опухоли.

ОБСУЖДЕНИЕ

Прежде чем перейти к обсуждению полученных результатов, следует отметить существенное различие в концентрации Б-ДНКЖ-GSH, при котором достигалось подавление роста опухоли на начальной его стадии в экспериментах, проводившихся *in vivo* (на мышах) в настоящей работе, а также в наших предыдущих исследованиях [5—8], с одной стороны, и в экспериментах *in vitro*, проводившихся нами на культуре опухолевых клеток МСF7, с другой стороны [8, 9].

В экспериментах *in vivo* рост карциномы Льюис полностью блокировался на несколько недель при пятикратном в/в введении Б-ДНКЖ-GSH в дозе 2 мкМ/кг, тогда как 50%-я гибель клеток в культуре (в экспериментах in vitro) достигалась при концентрации Б-ДНКЖ-GSH более 2 мМ. Очевидно, что это различие было обусловлено влиянием на противоопухолевое действие Б-ДН-КЖ-GSH функционирующей в организме мышей иммунной системы – иммунокомпетентных клеток, опосредовавших действие Б-ДНКЖ-GSH на развитие перевиваемой опухоли. Эти клетки, поглощая вводившиеся комплексы, обеспечивали их концентрированное, избирательное поступление в опухоль, чем и достигалось ингибирующее действие Б-ДНКЖ-GSH на опухоль в сравнительно низких дозах.

Предположение о том, что иммунокомпетентные клетки способны эффективно поглощать ДНКЖ с тиолсодержащими лигандами, основывается на результатах исследования польских ученых, продемонстрировавших включение ДНКЖ в макрофаги RAW 264,7 [14]. Что касается передачи ДНКЖ в опухолевые клетки, этот эффект был продемонстрирован французскими исследователями, обнаружившими накопление этих комплексов при сокультивировании клеток лейкоза L1210 с макрофагами мышей, генерировавших ДНКЖ после их обработки бактериальными липополисахаридами [15].

Встает вопрос, почему примерно через неделю после окончания в/в введения мышам Б-ДНКЖ-GSH, как в отсутствие, так и при дополнительном введении животным ДЭТК, начинался рост опухоли? Ответ на этот вопрос очевиден: это означа-

ет только одно — в организме животных сохранялся клон опухолевых клеток, устойчивых к действию Б-ДНКЖ-GSH, как самих по себе, так и полностью распадающихся под действием ДЭТК. Такими клетками могли оказаться злокачественные клетки с делецией гена апоптоза, так что было бы интересно проверить, не приведет ли последующее введение животным Б-ДНКЖ-GSH, особенно в присутствии ДЭТК, к гибели и этих клеток. Тем самым будет получен ответ на вопрос, способны ли цитотоксические компоненты ДНКЖ — катионы нитрозония — полностью подавлять пролиферацию злокачественных опухолей.

Такого рода эксперимент можно было бы провести, исходя из обнаруженного в настоящей работе факта противоопухолевого действия ДЭТК на развитие опухоли *in vivo* при в/б введении мышам только одного этого агента (кривая 3 на рисунке).

Дело в том, что факт временного совпадения противоопухолевых эффектов Б-ДНКЖ-GSH и Б-ДНКЖ-GSH + ДЭТК, с одной стороны, и ДЭТК, с другой стороны (кривые 2—4 на рисунке) дает основание предполагать, что при действии на животных только одного ДЭТК его цитотоксическое действие, так же как при введении и Б-ДНКЖ-GSH, и Б-ДНКЖ-GSH + ДЭТК, обусловлено катионами нитрозония.

Последнее, естественно, должно было бы обеспечиваться появлением в опухолях динитрозильных комплексов железа эндогенного происхождения. О том, что такое вполне возможно, свидетельствуют зарегистрированные многими исследователями [16—19], в том числе и нами в опытах с карциномой Льюис [2], факты обнаружения в образцах злокачественных опухолей сигналов ЭПР нитрозильных комплексов гемопротеинов. Появление последних свидетельствует об усиленной генерации оксида азота иммуннокомпетентными клетками как реакции организма на появление у мышей злокачественных клеток.

В работе американских исследователей [20] было показано, что при появлении NO в клетках макрофагов в них в первую очередь формируются ДНКЖ с тиолсодержащими лигандами, как парамагнитные (ЭПР-регистрируемые, М-ДНКЖ), так и диамагнитные (ЭПР-нерегистрируемые, Б-ДНКЖ). Из макрофагов эти комплексы могут переходить в опухолевые клетки, в которых они способны прочно связываться с экспрессируемой в присутствии NO глутатион-S-трансферазой [21, 22]. Это связывание стабилизирует динитрозильные комплексы железа, предотвращая их распад и

тем самым высвобождение из этих комплексов катионов нитрозония NO^+ , способных вызывать гибель опухолевых клеток. Такой распад могли инициировать молекулы ДЭТК, образующие, как об этом мы говорили во введении, прочно связанные мононитрозильные комплексы железа с ДЭТК, с одновременным высвобождением из ДНКЖ катионов нитрозония NO^+ .

Таким образом, если в предполагаемых экспериментах при повторной серии введения ДЭТК мышам-опухоленосителям (например, на девятнадцатые-двадцатые сутки после перевивки опухоли, как это следует из данных, представленных рисунке) окажется, что рост опухоли будет заблокирован, это будет означать, что сохранившиеся после первой серии введения мышам ДЭТК клетки, в действительности, чувствительны к губительному действию на них катионов нитрозония NO⁺. Исходя из этого, можно ожидать, что при таких последовательно повторяющихся сериях введения ДЭТК мышам-опухоленосителям, получившим ранее Б-ДНКЖ-GSH, опухоль может быть полностью ликвидирована.

Это ожидание подкрепляется еще и специфическим характером апоптотических процессов, вызываемых в клетках ДНКЖ с тиолсодержащими лигандами. Как следует из работы российских и немецких исследователей [23], один из представителей таких комплексов — М-ДНКЖ с тиосульфатом — инициировал в клетках лейкоза человека (линия Jurkat) апоптоз по непонятному пока механизму. Инициированный этим комплексом апоптоз не подавлялся ни антиапоптотическим белком Bcl-2, ни ингибиторами каспазы-3, -6 или -8. Такое подавление характерно, как известно, для большинства индукторов апоптоза.

В заключение отметим, что обнаруженный в данной работе факт сохранения и даже некоторого повышения противоопухолевой активности Б-ДНКЖ-GSH при совместном применении с ДТ-ЭК, являющимся «ловушкой» для молекул NO, можно рассматривать как свидетельство того, что эффект ингибирования роста опухоли обусловлен присутствием катионов нитрозония (NO⁺).

КОНФЛИКТ ИНТЕРЕСОВ

Авторы заявляют об отсутствии конфликта интересов.

СОБЛЮДЕНИЕ ЭТИЧЕСКИХ СТАНДАРТОВ

Все применимые международные, национальные и институциональные принципы ухода и использования животных при выполнении работы были соблюдены.

СПИСОК ЛИТЕРАТУРЫ

- 1. А. Ф. Ванин, Л. А. Островская, Д. Б. Корман и др., Биофизика **59**, 508 (2014).
- 2. А. Ф. Ванин, Л. А. Островская, Д. Б. Корман и др., Биофизика **60**, 152 (2015).
- 3. А. Ф. Ванин, Л. А. Островская, Д. Б. Корман и др., Биофизика **60**, 1157 (2015).
- A. F. Vanin, L. A. Ostrovskaya, and D. B. Korman, Austin J. Reprod. Medicine & Infertility 2, 1109 (2015)
- 5. А. Ф. Ванин, Л. А. Островская, Д. Б. Корман и др., Биофизика **62**, 591 (2017).
- 6. А. Ф. Ванин, Л. А. Островская, Д. Б. Корман и др., Биофизика **64** (6), 1216 (2019).
- 7. А. Ф. Ванин, Л. А. Островская, Д. Б. Корман и др., Биофизика **65** (1), 1 (2020)
- 8. А. Ф. Ванин, Л. А. Островская, Д. Б. Корман и др., Биофизика **65** (5), 1009 (2020).
- 9. A. F. Vanin, V. A. Tronov, and R. R. Borodulin, Cell Biochem. Biophys. **79** (1), 93 (2021)
- 10. A. F. Vanin, *Dinitrosyl Iron Complexes as a "Working Form" of Nitric Oxide in Living Organisms* (Cambridge Scholars Publishing, Cambridge, UK, 2019).
- 11. A. F. Vanin, D. I. Telegina, V. D. Mikoyan, and S. V. Vasilieva, Cell Biochem. Biophys. (2021), in press.
- 12. R. R. Borodulin, L. N. Kubrina, V. O. Shvydkiy, et al., Nitric Oxide Biol. Chem. **35**, 110 (2013).
- 13. Е. М. Трещалина, О. С. Жукова, Г. К. Герасимова и др., в кн. *Руководство по проведению доклинических исследований лекарственных средств. Часть первая*, под ред. А. Н. Миронова и др. («Гриф и К», М., гл. 39 (2012), сс. 642—657.
- 14. H. Lewandowska, T. M. Stepkowski, S. Meszynska-Wielgosz, et al. J. Inorg. Biochem. **188**, 29 (2018)
- J. C. Drapier, C. Pellat, and Y. Henry, J. Biol. Chem. 266, 10162 (1991).
- N. M. Emanuel, A. N. Saprin, V. A. Shabalkin, et al., Nature 222, 165 (1969).
- 17. T. Maruyama, N. Kataoka, S. Nagase, et al., Cancer Res. 31, 179 (1971)
- N. R. Bastian, C. Y. Yim, J. B. Hibbs, et al., J. Biol. Chem. 269, 5127 (1994)
- M. C. R. Symons and I. J. Rowland, Free Rad. Res. Comms. 21, 197 (1994)
- J. R. Hickok, S. Sahni, H. Shen, et al., Free Rad. Biol. Med. 51, 1559 (2011)
- H. C. Lok, Y. S. Rahmanto, C. L. Hawkins, et al., J. Biol. Chem. 287, 507 (2012)
- 22. H. C. Lok, S. Sahni, P.J. Jansson, et al., J. Biol. Chem. **291**, 27042 (2016)
- A. L. Kleschyov, S. Strand, S. Schmitt, et al., Free Rad. Biol. Med. 40, 1340 (2006).

Nitrosonium Cation as a Component of Dinitrosyl Iron Complexes Acts as an Inducer of the Antitumor Effect

A.F Vanin*, **, L.A. Ostrovskaya***, D.B. Korman***, N.V. Bluhterova***, V.A. Rykova***, and M.M. Fomina***

In this study, we explored the antitumor efficacy of combined use of an exogenous donor of cytotoxic nitrosonium cations of biuclear dinitrosyl iron complexes with glutathione and sodium diethyldithiocarbamate in a mouse model with Lewis lung carcinoma cell lines. It was found that the inhibitory effect of dinitrosyl iron complex (2 μ M/kg, i/v), sodium diethyldithiocarbamate (250 μ M/kg, i/p) and their combination on tumor growth was 48%, 76% and 57%, respectively. These results suggest that the inhibitory effect was observed due to the ability of sodium diethyldithiocarbamate to decompose endogenous dinitrosyl iron complexes in tumors leading to a release of nitrosonium cations from these complexes, thereby enhancing to some extent the antitumor effect of drugs when they were given together.

Keywords: binuclear dinitrosyl iron complexes with glutathione, sodium diethyldithiocarbamate, in vivo antitumor activity, murine Lewis lung carcinoma

^{*}Semenov Federal Research Center of Chemical Physics, Russian Academy of Sciences, ul. Kosygina 4, Moscow, 119991 Russia

^{**}Institute of Regenerative Medicine, Sechenov First Moscow State Medical University, Ministry of Health of the Russian Federation, Trubetskaya ul. 8/2, Moscow, 119991 Russia

^{***}Emanuel Institute of Biochemical Physics, Russian Academy of Sciences, ul. Kosygina 4, Moscow, 119334 Russia